

## 소결질화규소에 있어서 Strength-Probability-Time Diagram에 관한 연구

하 정 수 · 이 준 근  
한국과학기술원 재료공학부  
(1985. 6. 4. 접수)

## A Study on the Strength-Probability-Time (SPT) Diagram for Sintered Silicon Nitride

Jeong-Soo Ha and June-Gunn Lee  
Division of Material Science and Engineering KAIST  
(Received 4 June. 1985)

### ABSTRACT

A composition containing  $\alpha$ - $\text{Si}_3\text{N}_4$  with 5 w/o  $\text{Y}_2\text{O}_3$  and 4 w/o  $\text{Al}_2\text{O}_3$  was hot-pressed at 1,650 °C and 350 kg/cm<sup>2</sup> for 1.5 hrs, and specimens of the same composition were pressureless-sintered at 1,750 °C for 1.5 and 5 hrs.

By X-ray diffraction, it was found that hot-pressed specimens were consisted of  $\alpha$ - and  $\beta$ - $\text{Si}_3\text{N}_4$  and sintered specimens were consisted of  $\beta$ - $\text{Si}_3\text{N}_4$  and  $\text{Si}_3\text{N}_4 \cdot \text{Y}_2\text{O}_3$  which was crystallized out from the grainboundary phase. The 5-hr sintered specimens had higher degree of crystallization than the 1.5 hr sintered specimens.

Among these three different specimens, the 5-hr sintered specimens showed the highest strength by hot MOR test at 1,000°C. The SPT diagram for the 5-hr sintered  $\text{Si}_3\text{N}_4$  was constructed by measurements of the stress rate dependence of fracture strength.

### I. 서 론

최근 신소재 분야에 있어서 고온재료가 관심을 모으고 있는데, 그 중  $\text{Si}_3\text{N}_4$ 는  $\text{SiC}$ 와 함께 공유결합성 고온재료로서 내열성, 내열충격성, 내마모성, 내산화성, 경량성 등의 제반 특성이 우수하다. 이 때문에  $\text{Si}_3\text{N}_4$ 를 gas turbine, diesel engine 등에 응용하려는 연구가 활발히 진행되고 있다. 일반적으로  $\text{Si}_3\text{N}_4$ 의 소결은  $\text{MgO}$ ,  $\text{CeO}_2$ ,  $\text{Y}_2\text{O}_3$ ,  $\text{Al}_2\text{O}_3$  등과 같이 소결온도에서  $\text{Si}_3\text{N}_4$  분말표면의  $\text{SiO}_2$  산화층과 반응해 액상을 형성할 수 있는 소결촉진제를 첨가함으로써 이루어 진다<sup>1), 2)</sup>, 3), 4)

이 같은  $\text{Si}_3\text{N}_4$ 를 통해 고온구조재로로서 사용하기 위

해서는 단순히 MOR(modulus of rupture)<sup>5)</sup>나  $K_{IC}$ (fracture toughness) data 만으로 부족하다. 즉, 취성파괴현상으로 인한 강도 불균일성, delayed fracture, 분위기와 온도 등의 영향을 고려한 다양한 data 제시가 요구된다.

따라서, 본 연구는 adiabatic diesel engine의 최고 운전온도 부근인 1,000 °C에서<sup>5)</sup> 이론밀도 99% 이상의 소결질화규소를 이용, 파괴강도의 stress rate 의존성을 측정함으로써 SPT(strength-probability-time) diagram<sup>6)</sup>을 구하였고, 이를 통해 강도분포와 delayed fracture 개념을 동시에 나타내고자 하였다. 또한 궁극적으로 이 SPT diagram을 이용해 본 재료의 안전사용응력을 알고자 하였다.

## II. 실험방법

### 2-1) 원료준비 및 성형

소결질화규소의 제조에 사용된 원료는 순도 98% 이상의 질화규소 분말과 소결촉진제로 사용된  $\text{Y}_2\text{O}_3$  와  $\text{Al}_2\text{O}_3$  이다. 질화규소분말(상품명 : LC-12)은 그 결정상이 94%가  $\alpha\text{-Si}_3\text{N}_4$ 이고, 비표면적은  $23 \text{ m}^2/\text{g}$ 이며 평균 입자직경은  $0.3 \mu\text{m}$ 인 미분말이다. 소결촉진제의 고른 분산을 위해, 먼저  $\text{Y}_2\text{O}_3$  5 w/0 와  $\text{Al}_2\text{O}_3$  4w/0를 혼합매체인 methanol과 함께 0.5 시간 교반한 다음 질화규소분말을 넣어 다시 0.5 시간을 교반하였다. 교반 후 alumina ball mill 속에서 16 시간 혼합후 건조하여 사용하였다. 성형은  $0.8 \times 3.5 \text{ cm}$  steel die에서  $100 \text{ kg}/\text{cm}^2$ 로 1차 성형한 다음  $1,750 \text{ kg}/\text{cm}^2$ 의 압력으로 isostatic pressing 하였다. 이때 성형밀도는 58~59% TD(TD=3.25 g/cm<sup>3</sup>)가 얻어졌다.

### 2-2) 소결

상압소결 및 hot-pressing 실험에 사용된 보는 수직 흑연체 항로\*이다. 상압소결은  $1,750^\circ\text{C}$ 에서  $\text{N}_2$  분위기 ( $1 \text{l}/\text{min}$ )에서 실시하였고, 소결시간은 1.5 시간, 5 시간으로 하였다. Hot-pressing은  $1,650^\circ\text{C}$ 에서 상압의  $\text{N}_2$  분위기 ( $1 \text{l}/\text{min}$ ) 하에서  $350 \text{ kg}/\text{cm}^2$ 의 입력으로 1.5 시간 실시하였다. 이때, 흑연 mold를 사용하여 직경 3 cm 인 disc 형 시편을 얻었다.

### 2-3) Constant stress-rate test

크기가  $0.64 \times 0.41 \times 2.87 \text{ cm}$ 인 bar 형 시편을 사용해  $1,000^\circ\text{C}$ , air 분위기에서 3-point bending(span 2 cm)을 실시하였다. Hot-pressing 형 시편의 경우엔 diamond saw를 이용, hot-pressing 방향에 수직으로 잘라 시편을 준비하였다. 이때 Instron\*\*의 crosshead speed는 0.5, 0.05 mm/min이었으며, 거의 모든 시편은 midpoint에서 파괴되었다. 한편,  $1,000^\circ\text{C}$ 에서 loading rate(즉, load vs. time recorder output의 기울기)가 거의 linear하게 나타나고, 시편의 변형이 무시할 만큼 작기 때문에 crosshead speed에 대한 stress rate( $\dot{\sigma}$ )는 다음과 같이 구하였다<sup>7)</sup>.

$$\dot{\sigma} = \frac{3Pl}{2bd^2} \quad (1)$$

여기서  $P$ : loading rate,  $b$ : specimen breadth  
 $d$ : specimen depth,  $l$ : span

Crosshead speed 0.5, 0.05 mm/min에 해당하는 stress rate는 각각 272, 29  $\text{kg}/\text{cm}^2 \cdot \text{sec}$ 이었다.

### 2-4) X-선 회절분석 및 미세구조 관찰

소결질화규소의  $\alpha \rightarrow \beta$  상전이의 정도와 임계상의 결

정화 여부를 밝히기 위해 X-선 회절분석(Cu K $\alpha$  선)이 이용되었다. 미세구조를 관찰하기 위해 1,200 grit diamond wheel로 연마한 다음 다시 diamond paste ( $6 \mu\text{m}$ ,  $1\mu\text{m}$ ,  $0.25 \mu\text{m}$ )를 이용하여 미세연마하였다. Etching은  $\text{K}_2\text{CO}_3$  와  $\text{NaF}$ 의 용융염에서 행해졌다<sup>8)</sup>. 연마된 시편은 광학현미경으로 기공률을 관찰하였으며 etching된 시편은 주사전자현미경으로 입자모양과 크기를 관찰하였다. 또, 시편의 파단면에서의 파괴양상 및 파괴상태를 주사전자현미경과 광학현미경으로 관찰하였다.

\* Astro HP 20-3560-FP 20

\*\* Instron Model 1127

## III. 실험결과 및 고찰

### 3-1) 소결

Hot-pressing 및 1.5, 5 시간 소결시편을 광학현미경으로 관찰한 결과, 모두 상당한 치밀화가 이루어졌음을 알 수 있었으며, 특히 hot-pressing 시편은 거의 기공이 없는 상태이 있다. Fig. 1은 이를 시편의 X-선 회절분석을 나타낸 것이다. Hot-pressing 한 시편은  $\alpha \rightarrow \beta$  전이가 완료되지 않은 상태로서, X-선 경량분석<sup>9)</sup> 결과  $\beta\text{-Si}_3\text{N}_4$ 의 무게분율이 0.87로 나타났다. 이는 소결온도가 낮아서 전이속도가 느렸기 때문인 것으로 생각된다. 그리고 소결촉진제가 형성한 액상이 결정화되지 않은 채 냉각되어 비정질상으로 존재하고 있다.

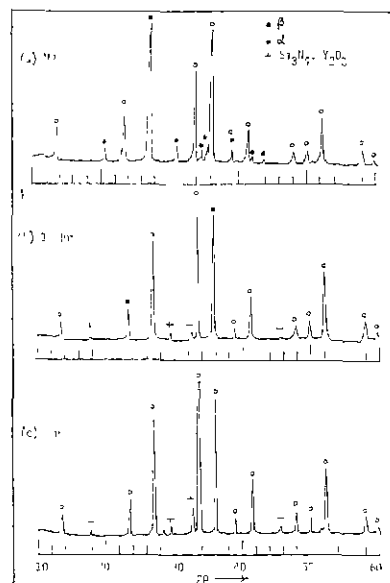


Fig. 1. X-ray diffraction analysis of hot-pressed and 1.5-and 5-hr sintered silicon nitrides.

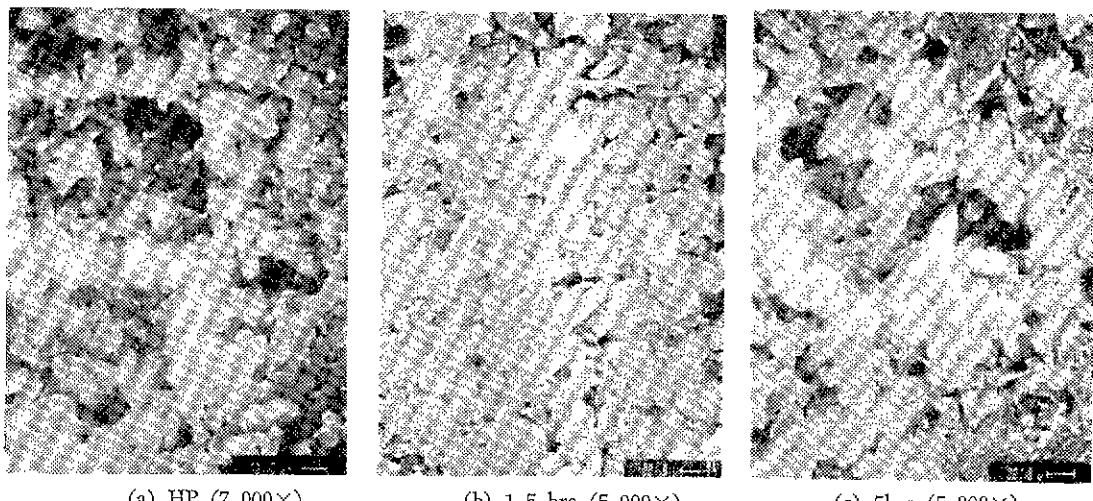


Fig. 2. SEM of hot-pressed and 1.5-and 5-hr sintered silicon nitrides after polishing and etching.

한편, 1.5시간과 5시간 소결시편들은  $\beta\text{-Si}_3\text{N}_4$ 로 완전히 전이되고, 액상의 결정화로  $\text{Si}_3\text{N}_4\text{-Y}_2\text{O}_3$ 가 제2상으로 나타났다. 이때 5시간 소결시편인 경우에 결정화가 많이 됐음을 알 수 있다. 그러나,  $\text{Y}_2\text{O}_3\text{-Al}_2\text{O}_3$ 첨가에 의한 소결에서 완전히 결정화가 일어난다는 것은 힘들기 때문에 이들 시편에도 비정질상이 입자에 존재하리라 여겨진다<sup>10)</sup>. Hot-pressing 시편의 이론밀도를  $\beta\text{-Si}_3\text{N}_4$ 의 이론밀도인  $3.19 \text{ g/cm}^3$ 로 하고<sup>11)</sup> 상당소결시편들의 이론밀도는  $\text{Y}_2\text{O}_3$ 가  $\text{Si}_3\text{N}_4$ 와 완전히 반응해  $\text{Si}_3\text{N}_4\text{-Y}_2\text{O}_3$ 를 형성했다고 가정하여 계산하면  $3.25 \text{ g/cm}^3$ 가 된다<sup>3)</sup>. 따라서 hot-pressing 시편은 100% 이론밀도였으며, 1.5, 5시간 소결시편들은 각각 이론밀도의 97%와 99%였다. Etching 후 주사전자현미경으로 관찰한 미세구조를 Fig. 2에 나타내었다. 각 시편들 모두 elongated  $\beta$ -grain 들로 interlocking 된 구조를 가지고 있다. 이는  $\alpha \rightarrow \beta$  전이의 결과이며, elongated 된 방향은 C-축이다<sup>12)</sup>. Hot-pressing 시편의 입자크기가 가장 작은데 이는 온도가 낮아서 입자성장과  $\alpha \rightarrow \beta$  전이속도가 비교적 느렸기 때문인 것으로 생각된다. 한편, 5시간 소결시편이 1.5시간 소결시편보다 대체로 입자크기가 큰 것은 전이가 완결된 후에 입자성장이 일어났음을 의미한다.

### 3-2) 고온 죄임강도 및 Weibull Analysis<sup>13)</sup>

Fig. 3은  $1,000^\circ\text{C}$ 에서의 죄임강도와 파괴률( $P_f$ )의 관계를 나타낸 것으로서, 실선은 계산된 파괴률이다. Weibull modulus  $m$  값은 hot-pressing 시편이

5.91이었고, 1.5시간과 5시간 소결한 시편이 각각 6.05와 7.93이었다. Fig. 3에서 보듯이 5시간 소결한 시편이 임의의 파괴률에서 파괴강도가 가장 높았다. 1.5시간 소결시편과 hot-pressing 시편에 비해 임자성장으로 인한 입자크기의 증가가 일어났음에도 불구하고 더 높은 강도를 갖는 이유는 잎계상의 결정화

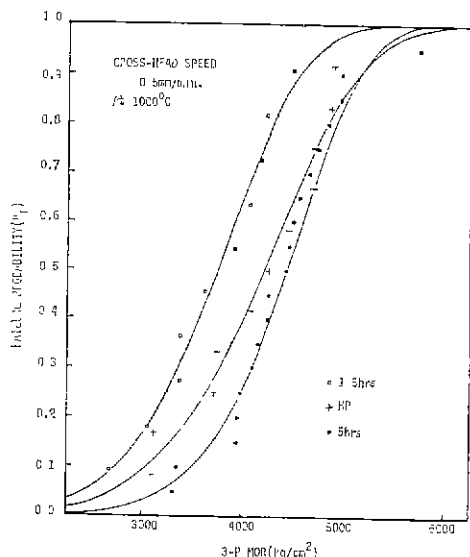


Fig. 3. Weibull strength distribution of hot-pressed and 1.5-and 5-hr sintered silicon nitrides tested at  $1,000^\circ\text{C}$ .

가 많았기 때문이다. 즉, 상온에서 재료의 강도에 영향을 미치는 주요인자는 응력집중을 일으키는 기공파입자크기이지만, 고온에서는 비경질 입계상의 연화(softening) 현상이 강도를 좌우한다<sup>11)</sup>. 한편, 1.5시간 소결한 시편이 hot-pressing 시편보다 강도가 낮게 나타난 것은, Fig. 1의 X-선 분석에서 볼 수 있듯이 고온강도에 영향을 줄만큼 결정화가 충분히 일어나지 못했기 때문이며, hot-pressing 시편이  $\alpha \rightarrow \beta$  전이(87w/0  $\beta$ )로 인한 입자들간의 interlocking을 어느정도 갖고 있는데다가 거의 이론밀도에 해당하는 치밀화가 이루어졌기 때문인 것으로 생각된다. 따라서, 본 연구에서 constant stress-rate test를 통한 SPT diagram의 작성은 5시간 소결한 시편을 이용하여 이루어졌다.

Fig. 4는 hot-pressing 시편과 1.5시간, 5시간 소결한 시편의 파단면을 주사전자현미경으로 관찰한 것이다. Hot-pressed  $\text{Si}_3\text{N}_4$ 와 상압소결  $\text{Si}_3\text{N}_4$ 는 소결축전재가 일제에 보통 비정질상으로 존재하기 때문에 파괴양상이 주로 입계파괴이며, elongated 된 입자들의 interlocking이 많아질수록 입내파괴 양상이 나타날 수 있다. 따라서, 입계상의 연화가 나타나는 고온에서는 대부분 입계파괴가 일어난다. 그러나, 입계상의 결정화정도에 따라 입내파괴가 나타나기도 한다<sup>11), 14)</sup>. Fig. 4에서 보듯이 hot-pressing 한 시편과 1.5시간 소결한 시편에서는 입내파괴는 거의 찾아볼 수가 없고, 오히려 입계상의 연화현상이 심하게 일어났음을 알 수 있다. 그러나, 5시간 소결시편의 경우는 약간의 입내파괴 양상을 볼 수 있었다. 이는 5시간 소결한 시편이

Fig. 3에서 강도가 가장 커진 사실과 일치한다.

### 3-3) Constant stress-rate test 및 SPT diagram

$\text{Si}_3\text{N}_4$ 는 고온에서만, 연화가 일어난 입계상을 통해 완속균열성장이 나타나서 결국 완전파괴에 이른다. 이러한 완속균열성장의 기구는 입계상의 접선감소로 인한 grainboundary sliding이다<sup>7)</sup>. 따라서, 분위기엔 주로 무관하여  $\text{Si}_3\text{N}_4$ 의 속도와 관련이 있다. 이러한 완속균열성장에 고온강도는 stress rate에 따라 다르게 나타난다. 즉, stress rate가 빠를수록 완속균열성장이 일어날 시간적 여유가 없기 때문에 강도가 커진다. stress rate가 느릴때는 이와 반대이다. 따라서, stress rate의 변화에 따른 강도변화를 측정함으로써 완속균열성장의 정도를 나타내는 n값을 구할 수 있다. 이 n값을 구하는 식은 다음과 같다<sup>7)</sup>.

$$\left(\frac{\sigma_{s1}}{\sigma_{s2}}\right)^{n+1} = \frac{\dot{\sigma}_1}{\dot{\sigma}_2} \quad \dots \dots \dots \quad (2)$$

여기서,  $\dot{\sigma}_1, \dot{\sigma}_2$ : stress rate

$\sigma_{s1}, \sigma_{s2}$ : 각각의 stress rate에 대한 평균강도

Fig. 5에 5시간 소결한 시편이 Instron의 crosshead speed(즉, stress rate)에 따라 1,000°C에서 강도가 어떻게 변하는지를 나타내었다. 어느 특정 전존화를에서 crosshead speed가 빠를때 더 큰 강도를 갖게 됨을 알 수 있다. 즉, crosshead speed가 0.5, 0.05 mm/min 일때 평균 강도값은 각각 4,382 kg/cm<sup>2</sup>와 4,058 kg/cm<sup>2</sup>이다. 그리고 두 crosshead speed에 대한 stress

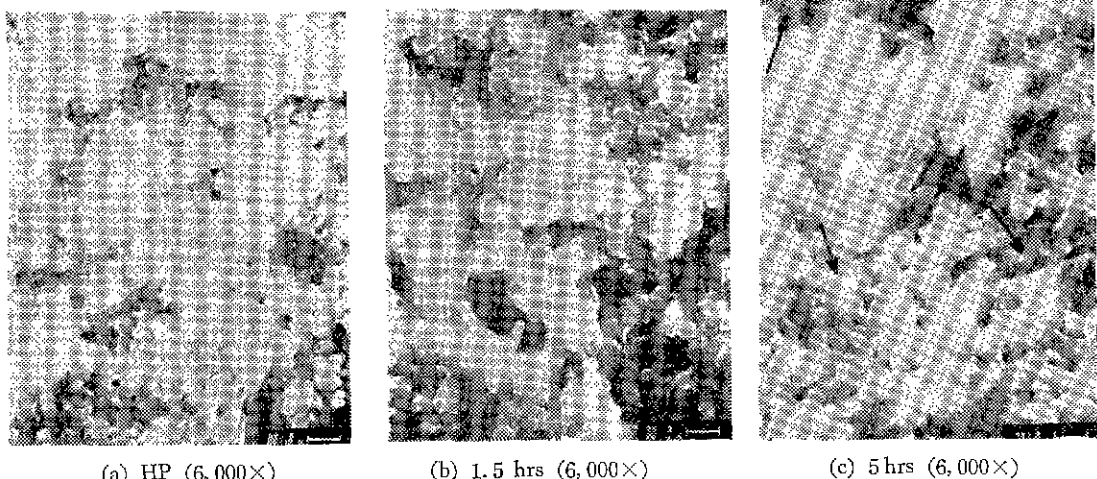


Fig. 4. SEM of the fracture surfaces of hot-pressed and 1.5-and 5-hr sintered silicon nitrides fractured at 1,000°C. Arrows in (c) indicate transgranular fracture. (CHS=0.5mm/min)

rate는 각각  $272 \text{ kg/cm}^2 \cdot \text{sec}$  와  $29 \text{ kg/cm}^2 \cdot \text{sec}$  이다. 따라서, Eq. (2)를 이용하여  $n$  값을 구하면 28.1이 된다. 상온과  $1,000^\circ\text{C}$ 에서의 파단면을 광학현미경으로 관찰한 것을 Fig. 6에 나타내었다. 그림에서 보듯이 상온과  $1,000^\circ\text{C}$ 에서의 파단면 형태가 다를을 알 수 있다. 즉, 원축균열성장의 특징인, 미세균열들에 의해 생긴 거친 영역(rough, crack-shaped region)을  $1,000^\circ\text{C}$ 인 경우에 볼 수 있는데, 이러한 사실은 원축균열 성장이 심하게 일어난  $1,300^\circ\text{C}$ 에서의 파단면(Fig. 7)을 보면 확실해 진다.

한편, 5시간 소결한 시편의, crosshead speed 0.5 mm/min에서의 강도분포 data(Fig. 5)와 앞에서 구한  $n$  값을 이용하여 SPT diagram을 작성<sup>6)</sup>, Fig. 8에 나타내었다. 그림에서 각 점들은 시편들의 failure time

이 일정치 않아 표준시간인 1 sec로 평준화(normalization)한 것을 보인 것이다. 이 SPT diagram으로 부터 5시간 소결시편의 안전사용응력을 예측할 수 있다. 예를 들어, 본 재료가 실제 동적 구조재료로 응용될 경우에 요구되는 수명이 100,000 sec이고 과괴화률이 1%

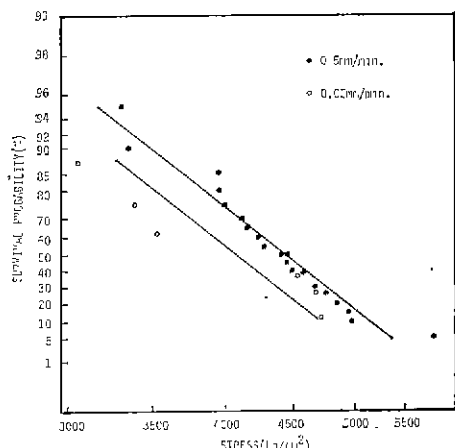
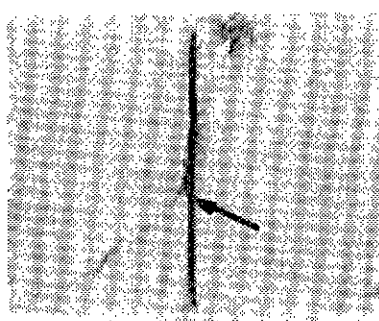
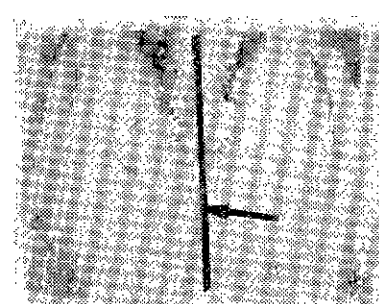


Fig. 5. Statistical variation of strength with crosshead speed (i.e. stressing rate) for 5-hr sintered silicon nitride at  $1,000^\circ\text{C}$ .



(a) Room Temp.



(b)  $1,000^\circ\text{C}$  (CHS=0.5 mm/min)

Fig. 6. Optical photographs of the fracture surface of 5-hr sintered silicon nitrides fractured at RT and  $1,000^\circ\text{C}$ . Arrows indicate tensile side of surface.

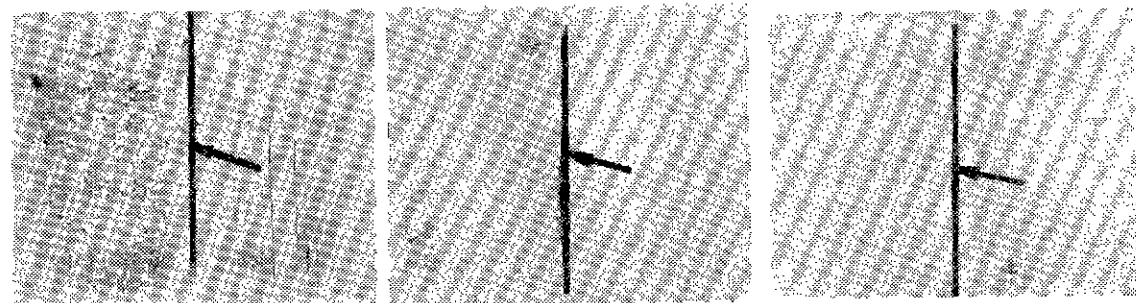


Fig. 7. Optical photographs of the fracture surfaces of 5-hr sintered silicon nitrides fractured at  $1,300^\circ\text{C}$ . Arrows indicate tensile side of surface (CHS=crosshead speed)

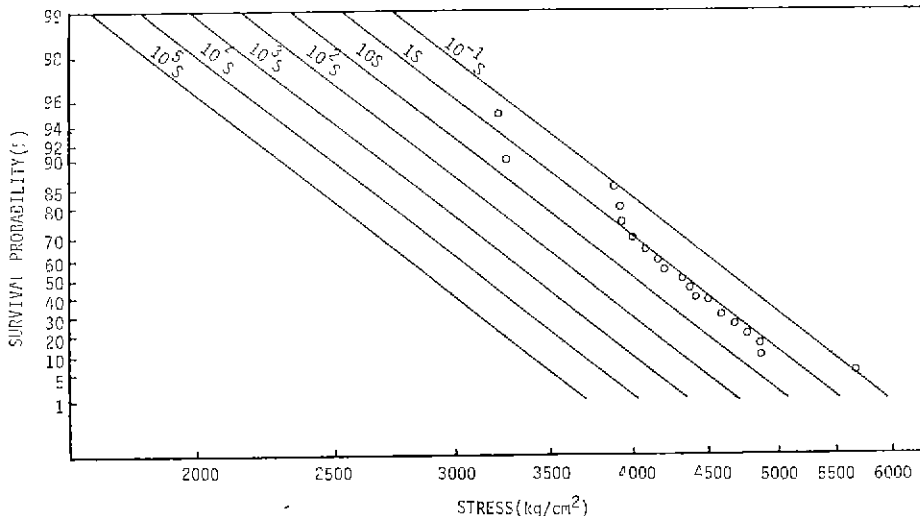


Fig. 8. The SPT diagram for 5-hr sintered silicon nitride at 1,000 °C. Superimposed are the data normalized to a failure time  $t=1$  sec.

이하야 한다면 본 재료에 1,694 kg/cm<sup>2</sup> 이하의 응력이 걸리도록 설계해야 할 것이다.

#### IV. 결 론

1.  $\text{Y}_2\text{O}_3-\text{Al}_2\text{O}_3$  계 질화규소에 대해 hot-pressing (1,650 °C-0.5 시간), 단기상압조결 (1,750 °C-1.5 시간), 장기상압조결 (1,750 °C-5 시간)을 실시하였다. 이 때, hot-pressing 시편에서는 입계상의 결정화가 일어나지 않았으나, 상압조결 시편에서는 제 2상으로  $\text{Si}_3\text{N}_4 \cdot \text{Y}_2\text{O}_3$  가 결정화되었고 장기상압조결일 때 결정화 정도가 많았다.

2. 온도 1,000 °C에서 장기상압조결 시편이 가장 높은 강도를 나타내었다. 이로부터 소결질화규소의 고온 강도는 입계상의 결정화에 의해 크게 좌우됨을 알았다.

3. 장기상압조결 시편에 있어서, 1,000 °C에서의 완속균열성장 인자  $n$  값은 28이었으며 Weibull modulus  $m$  값은 8이었다.

4. 본 연구의 결과로  $\text{Y}_2\text{O}_3-\text{Al}_2\text{O}_3$  계로 액상조결된 질화규소의 SPT diagram이 얻어졌으며, 이 SPT diagram으로부터 본 재료가 실제 동적 구조재료로서 응용될 때 요구되는 안전사용응력을 예측할 수 있었다.

#### 참 고 문 헌

- G. R. Terwilliger and F. F. Lange, "Pressureless

Sintering of  $\text{Si}_3\text{N}_4$ ", *J. Mat. Sci.*, **10**, 1169-1174 (1975).

- D. J. Rowcliffe and P. J. Jorgensen, "Sintering of silicon Nitride", Proc. Workshop on Ceramics for Advanced Heat Engines, Energy Res. and Dev. Adm., CONRT, Orlando, FL, 191-196 (1977).
- M. Mitomo, "Sintering of  $\text{Si}_3\text{N}_4$  with  $\text{Al}_2\text{O}_3$  and  $\text{Y}_2\text{O}_3$ ", *Yogyo-Kyokai-Shi*, **85** (8), 408-412 (1977).
- J. T. Smith and C. L. Quackenbush, "A Study of Sintered  $\text{Si}_3\text{N}_4$  Compositions with  $\text{Y}_2\text{O}_3$  and  $\text{Al}_2\text{O}_3$  Densification Additives," Proc. Int. Sym. Factors Densification and Sintering Oxide Nitride Ceramics, Japan, 426-442 (1978).
- R. N. Katz, "Ceramics for Vehicular Engines: STATE-OF-THE-ART", Materials Science Monographs 6-Energy and Ceramics, ed. by P. Vincenzini, Amsterdam Elsevier Scientific Pub. Co., 449-467 (1980).
- R. W. Davidge, J. R. McLaren and G. Tappin, "Strength-Probability-Time (SPT) Relationships in Ceramics", *J. Mat. Sci.*, **8**, 1699-1705 (1973).
- F. F. Lange, "High-Temperature Strength Beha-

소결질화규소에 있어서 Strength-Probability-Time Diagram의 관찰연구

- vior of Hot-Pressed  $\text{Si}_3\text{N}_4$ : Evidence for Subcritical Crack Growth", *J. Am. Ceram. Soc.*, **57** (2), 84-87 (1974).
- 8) G. R. Terwilliger and F. F. Lange, "Hot-Pressing Behavior of  $\text{Si}_3\text{N}_4$ ", *J. Am. Ceram. Soc.*, **57** (1), 25-29 (1974).
- 9) C. P. Gazzara and D. R. Messier, "Determination of Phase Content of  $\text{Si}_3\text{N}_4$  by X-ray Diffraction Analysis", *Am. Ceram. Soc. Bull.*, **56**(9), 777-780 (1977).
- 10) C. C. Ahn and G. Thomas, "Microstructure and Grain-Boundary Composition of Hot-Pressed Silicon Nitride with Yttria and Alumina", *J. Am. Ceram. Soc.*, **66**(1), 14-17 (1983).
- 11) A. Tsuge and K. Nishida, "High Strength Hot-Pressed  $\text{Si}_3\text{N}_4$  with Concurrent  $\text{Y}_2\text{O}_3$  and  $\text{Al}_2\text{O}_3$  Additives", *Am. Ceram. Soc. Bull.*, **57** (4), 424-431 (1978).
- 12) F. F. Lange, "Relation between Strength, Fracture Energy and Microstructure of Hot-Pressed  $\text{Si}_3\text{N}_4$ ", *J. Am. Ceram. Soc.*, **56**, 518-522 (1973).
- 13) A. S. Jayatilaka, "Fracture of Engineering Brittle Materials", Appl. Sci. Pub. Ltd., London, 122-134 (1979).
- 14) J. T. Smith and C. L. Quackenbush, "Phase Effects in  $\text{Si}_3\text{N}_4$  Containing  $\text{Y}_2\text{O}_3$  or  $\text{CeO}_2$ : I. Strength", *Am. Ceram. Soc. Bull.*, **59**(5), 529-537 (1980).